

Wstęp do PLUTO

PLUTO: Środowisko do generacji emisji cząstek.

Pole działania: Źródło – tor swobodny, zderzenie cząstek, rozpad cząstki, fireball ze zderzenia jąder

Cząstki – hadrony, leptony, foton.
stabilne i rozpadające się (w tym: rezonanse o szerokim rozkładzie masy)

Własności cząstek i kanały rozpadu pobrane z [Review of Particle Physics](#).

Rozpady: na cząstki lub poprzez foton wirtualny.
Zgodne z kinematyką relatywistyczną + możliwe proste modele fizyczne.

Emisja: można ograniczyć pędy, kąty itp, symulując ograniczoną akceptancję detektora

Można zakodować własną cząstkę / rozpad / model.

Forma: Biblioteka dołączana do ROOT. Obiekty do użycia interaktywnie lub makrze, np:
`PParticle`, `PChannel`, `PReaction`, ...

Kompatybilność: PLUTO 5 ↔ ROOT 5, PLUTO 6 ↔ ROOT 6

Algorytm: Zdefiniowanie źródła emisji + cząstki(ek) emitowanej(ych) + aktywacja zadanych rozpadów.
Uwzględnienie energii wiązki (transformacja Lorentza)
Wywołanie pętli, która generuje pseudolosowo cząstki (w ramach zadanych warunków) i doprowadza do rozpadów.

Wynik: Zestaw zdarzeń z cząstkami i ich pędami.

Format wyjścia: Domyślnie drzewo TTree w pliku root. Opcjonalnie: tekst, TNtuple, THnF .



Mody pracy:

- Składanie “z klocków” , tj. obiektami są źródła, cząstki, kanały rozpadu i reakcja.
- Dedykowany “język” skryptowych poleceń

Www :

- <https://www-hades.gsi.de/?q=pluto> : Strona główna, problemy własności → większość niepubliczna
- <https://plutouser.github.io/v6.00/> : Źródło, dokumentacja klas, przykładowe makra

Publikacje:

- I. Fröhlich et al., [arXiv:0708.2382v2](https://arxiv.org/abs/0708.2382v2) “Pluto: A Monte Carlo Simulation Tool for Hadronic Physics”
- I. Fröhlich et al., [arXiv:0905.2568v1](https://arxiv.org/abs/0905.2568v1) “Design of the Pluto Event Generator”

Prezentacje:

- I. Fröhlich, “The Pluto++ Event Generator” (ACAT 07 Amsterdam)
- I. Fröhlich, “Pluto: An Event Generator Framework for Hadronic Physics” (A2 CB17 Meeting)

Instalacja

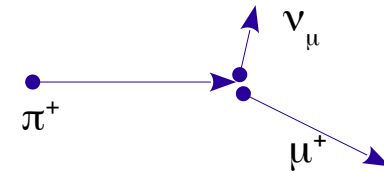
- Źródła:
lub:

```
wget https://plutouser.github.io/v6.00/pluto_v6.00.tar.gz  
git clone https://github.com/PlutoUser/pluto6.git
```
- Kroki instalacji:

```
cd pluto6 ; mkdir builddir ; cd builddir  
cmake ..  
make
```
- Rezultat:
Biblioteka `libPluto.so`
Proponuję: `export PLUTOLIBDIR={.....}/buildir`
- Aktywacja:
 - w sesji: `gSystem->Load ("...../libPluto.so");`
 - w makrze: `R__LOAD_LIBRARY (...../libPluto.so)`
- Sieć neutronx: (kontakt z prowadzącym)

Przykład 1

Rozpad $\pi^+ \longrightarrow \mu^+ \nu_\mu$
($E_k = 1 \text{ GeV}$)



Makro procesora do podłączania bibliotek

```
R__LOAD_LIBRARY ($PLUTOLIBDIR/libPluto.so)
```

Tworzymy 1 $\times \pi^+$.
Pluto zidentyfikuje po nazwie.
Nadajemy $E_{\text{kin}} = 1 \text{ GeV}$.

```
int pip_mupnu ()
```

Tworzymy reakcję:

1. Substrat: π^+
2. Produkty: μ^+, ν_μ

Format: "Descriptor string"

3. Plik wyjściowy

```
{  
    PParticle pip ("pi+", 1.0 );  
  
    PReaction* my_reaction = new PReaction  
        ( &pip ,  
          "mu+ nu",  
          "pip_mupnu", 1);
```

```
    my_reaction->Print ();  
    my_reaction->Loop (10000, 1);
```

```
    return 0;
```

```
}
```

Uruchamiamy pętlę
10000 zdarzeń

▶ **Wykonujemy symulację**

▶ **Czytamy plik wynikowy
w formacie root**

Podłączamy bibliotekę

```
$ nice root -b -q pip_mupnu.C
```

```
$ nice root -l pip_mupnu.root
```

```
{...}
```

```
Warning in <TClass::Init>: no dictionary {...}
```

```
Root [1] gSystem->Load (".../libPluto.so")
```

```
(int) 0
```

```

$ data->Scan ("pid:GetParentId() ")
$ data->Draw ("M()", "pid==8")           {PID → por. s. 6}
$ data->Draw ("E()-M()", "pid==8")     ...
      "Rapidity()"

```

← 1 wpis = kolekcja cząstek z 1 reakcji (TClonesArray)

← Kinematyka obliczana w Lab

```

$ data->Draw ("Rapidity()", "pid==5")
      "Pt():Rapidity()", "pid==5")

$ data->Draw ("P():Theta()", " Name() == \"mu+\" ")

$ data->Draw ("Rapidity():Pt()", "pid==5")
      Beta()
      Pz() Px() Py()

```

PParticle – Cząstka

Reprezentuje konkretną cząstkę o danych własnościach i 4-Pędzie.

```

$ PParticle p ("pi0")
$ p.Print ()
$ cout << p.Name() << "\t" << p.ID() << endl;

```

```

$ listParticle ("pi0") lub ( 7 )

```

```

$ p.Set... (...)
  SetE, Px, Py, Pz,
  SetTheta (...), SetPhi(...)

```

← Obracają wektor pędu

```

$ p.E() , Px Py Pz Pt Mt Theta Phi

```

```

$ p.Boost (beta_x, beta_y, beta_z)

```

← Transformacja Lorentza

Przykład 2

Rozpad

π^+



μ^+

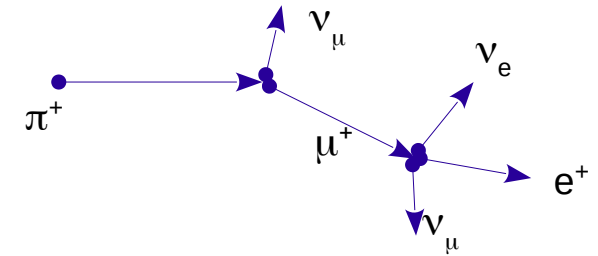
ν_μ

($E_k = 1 \text{ GeV}$)

ν_μ

e^+

ν_e



μ^+ jest cząstką nietrwałą ($\tau \approx 10^{-6} \text{ s}$)
i rozpada się do $\nu_\mu e^+ \nu_e$.

Dodajmy ten rozpad.

String descriptor

"nu mu+ [e+ nu nu]"

(Nawiasy umieszczamy po cząstce
pierwotnej i wpisujemy produkty)

Uwaga: Pluto nie rozróżnia rodzajów ν .

Nazwa pliku wyjściowego

Flagi

f0: Zapisz (1–wszystkie cz. / 0–tylko finalne)

f1: (nieużywana)

f2: Wyznacz vertex prod. (1 – tak, 0 – nie)

f3: Generuj plik textowy (1 – tak, 0 – nie)

```
R__LOAD_LIBRARY ($PLUTOLIBDIR/libPluto.so)
```

```
int pip_mupnu_epnunu ()
```

```
{
```

```
  PParticle pip ("pi+", 1.0 );
```

```
  PReaction* my_reaction = new PReaction (  
    &pip ,
```

```
    "nu mu+ [e+ nu nu]",
```

```
    "pip_mupnu_epnunu" ,
```

```
    1, 0, 0, 1
```

```
  );
```

```
  my_reaction->Print ();
```

```
  my_reaction->Loop (10000, 1);
```

```
  return 0;
```

```
}
```

```
$ data->Scan ("Name() : pid : GetParentId() : GetSiblingIndex()")
```

```
$ data->Draw ("Theta()", "pid==8")
```

```
pid==5
```

```
pid==4 && GetParentId()==8
```

```
pid==4 && GetParentId()==5
```

Dostęp do danych o cząstkach i rozpadach

► **Typy cząstek** uwzględnione w Pluto – według PDG.

\$ listParticle () ← Wypis wszystkich cząstek z bazy danych

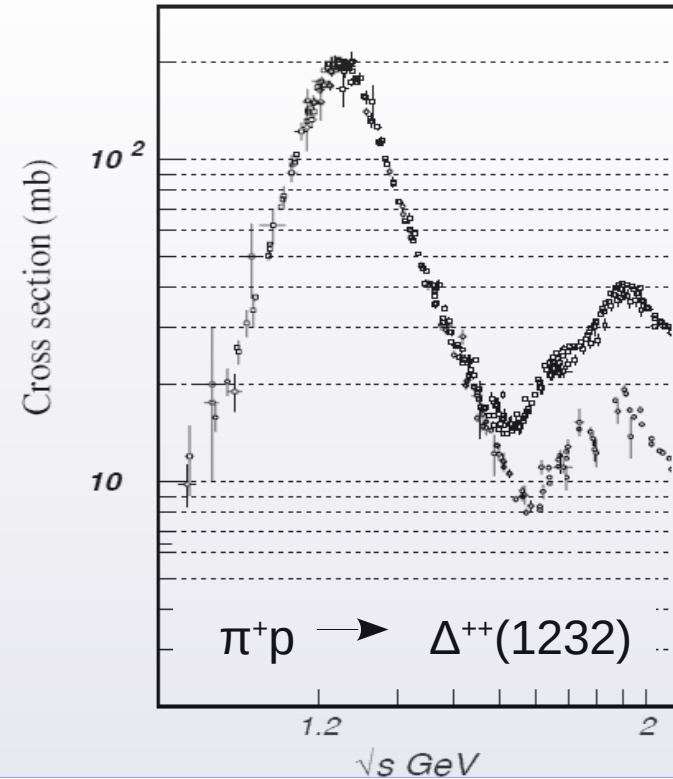
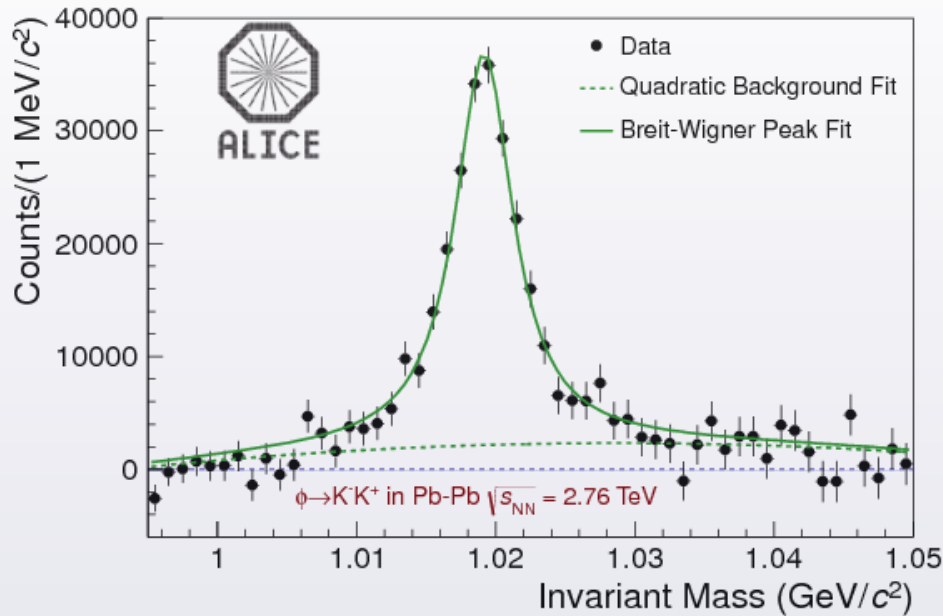
- **Cząstki trwałe oraz o szerokości $\Gamma < 1$ MeV**

PID	Symbol	Typ	M[MeV]	PID	Symbol	Typ	M[MeV]	PID	Symbol	Typ	M[MeV]
1	g	γ	0	13	n	n	939.6	25	anti_n	\bar{n}	939.6
2	e+	e^+	0.511	14	p	\underline{p}	938.3	26	anti_Lambda	$\bar{\Lambda}$	1115.7
3	e-	e^-	0.511	15	anti_p	$\underline{\bar{p}}$	938.3	27	anti_Sigma-	$\bar{\Sigma}^-$	1189.4
4	nu	ν	0	16	K0S	K_s^0	497.7	28	anti_Sigma0	$\bar{\Sigma}^0$	1192.6
5	mu+	μ^+	105.7	17	eta	η	547.5	29	anti_Sigma+	$\bar{\Sigma}^+$	1197.4
6	mu-	μ^-	105.7	18	Lambda	Λ	1115.7	30	anti_Xi0	$\bar{\Xi}^0$	1314.9
7	pi0	π^0	135.0	19	Sigma+	Σ^+	1189.4	31	anti_Xi+	$\bar{\Xi}^+$	1321.3
8	pi+	π^+	139.6	20	Sigma0	Σ^0	1192.6	32	anti_Omega+	$\bar{\Omega}$	1672.5
9	pi-	π^-	139.6	21	Sigma-	Σ^-	1197.4	33	K0S	η	497.7
10	K0L	K_L^0	497.7	22	Xi0	Ξ^0	1314.9	53	eta'	η'	957.7
11	K+	K^+	493.7	23	Xi-	Ξ^-	1231.3	67	J/Psi	J/Ψ	3096.9
12	K-	K^-	493.7	24	Omega	Ω	1672.5	68	Psi'	Ψ'	3686.0

- **Nukleony i najlżejsze jądra atomowe:**

PID	Symbol	Typ	M[MeV]	PID	Symbol	Typ	M[MeV]
13	n	n	939.6	45	d	d	1875.6
14	p	\underline{p}	938.3	46	t	t	2809.3
15	anti_p	$\underline{\bar{p}}$	938.3	47	alpha	^4He	3727.4
25	anti_n	n	939.6	49	He3	^3He	2809.2

Rezonanse (cząstki, których masa jest rozkładem)
Stany wzbudzone układu 2 lub 3 kwarków.



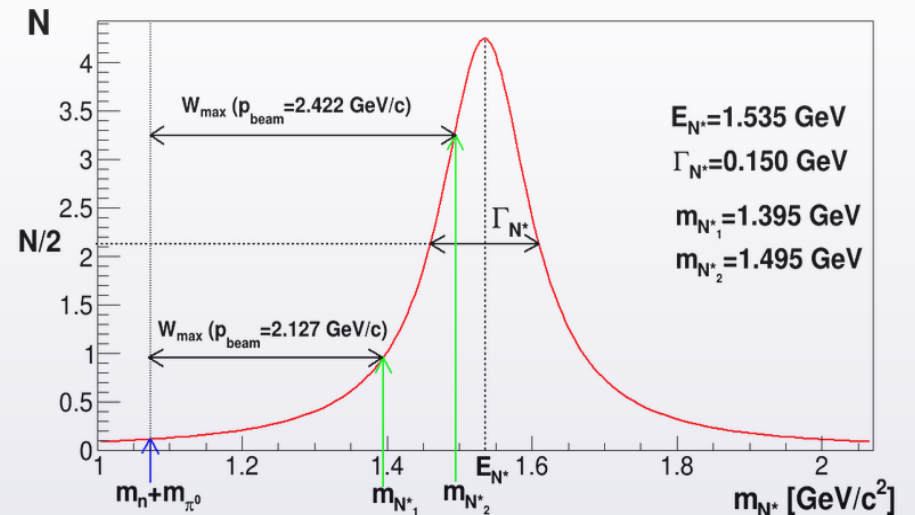
Model: relatywistyczna krzywa Breita-Wignera

$$g(m) = A \frac{m^2 \Gamma^{\text{tot}}(m)}{(M_R^2 - m^2)^2 + m^2 (\Gamma^{\text{tot}}(m))^2}$$

$$\Gamma^{\text{tot}}(m) = \sum_k^N \Gamma^k(m)$$

Γ^{tot} : całkowita szerokość połówkowa,
suma po wkładach od kanałów rozpadu, Γ^k

Zakres próbkowania: $m \in [M_R - 2\Gamma, M_R + 12\Gamma]$



- Rezonanse w bazie danych Pluto:

Mezony

PID	Symbol	Typ	M[MeV]	Γ [MeV]
41	rho0	ρ^0	769.9	150.7
42	rho+	ρ^+	769.9	150.7
43	rho-	ρ^-	769.9	150.7
52	w	ω	781.9	8.43
54	sigma	σ	600.0	500.
55	phi	ϕ	1019.4	4.43

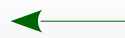
Bariony

PID	Symbol	Typ	J[\hbar]	M[MeV]	Γ [MeV]	PID	Symbol	Typ	J[\hbar]	M[MeV]	Γ [MeV]
34	D0	$\Delta(1232)^0$	3/2	1232	120	58	DP33+	$\Delta(1600)^+$	3/2	1600	350
35	D++	$\Delta(1232)^{++}$	3/2	1232	120	59	DP33-	$\Delta(1600)^-$	3/2	1600	350
36	D+	$\Delta(1232)^+$	3/2	1232	120	60	DS310	$\Delta(1620)^0$	1/2	1620	150
37	D-	$\Delta(1232)^-$	3/2	1232	120	61	DS31++	$\Delta(1620)^{++}$	1/2	1620	150
38	NP11+	$N(1440)^+$	1/2	1440	350	62	DS31+	$\Delta(1620)^+$	1/2	1620	150
39	ND13+	$N(1520)^-$	3/2	1520	120	63	DS31-	$\Delta(1620)^-$	1/2	1620	150
40	NS11+	$N(1535)^-$	1/2	1535	150	64	NP110	$N(1440)^0$	1/2	1440	350
56	DP330	$\Delta(1600)^0$	3/2	1600	350	65	ND130	$N(1520)^0$	3/2	1520	120
57	DP33++	$\Delta(1600)^{++}$	3/2	1600	350	66	NS110	$N(1535)^0$	1/2	1535	150

- W Przyrodzie istnieje znacznie więcej rezonansów, o wyższych masach.
- Do bazy danych można dodać nowe cząstki, por. str. 23.

Dostęp do danych o cząstkach i rozpadach c.d.

```
$ listParticle (34)
```



Dane dot. $\Delta(1232)^0$:

- centroid i Γ masy
- Kanały rozpadu + wkład (BR \equiv stosunek rozgałęzienia)

Bezpośredni dostęp:

```
$ PStaticData* sd = makeStaticData() ;
```

```
$ sd->GetParticleMass (7)
  GetParticleID ("p")
  GetParticleName (7)
  GetParticleTotalWidth (34)
  GetParticleSpin (34)
  GetParticleParity (34)
  GetParticleIsospin (34)
```

```
$ sd->GetParticleNChannels (7) ---> 2
```

```
$ sd->PrintParticle (7) lub ("pi0")
```

```
$ sd->PrintDecayByKey (143)
```

```
Database key=143
Database name=pi0 --> photon + photon
Decay index=3
Branching ratio=0.988000
Decay product 1->Database name=g
Decay product 2->Database name=g
```

```
$ sd->GetDecayBR (3) ---> 0.988
```



Obiekt zaw. bazę danych

```
$ listModes () ← Lista rozpadów
```

```
(...)
Database key=143
Database name=pi0 --> photon + photon
Decay index=3
Branching ratio=0.988000
Decay product 1->Database name=g
Decay product 2->Database name=g

Database key=144
Database name=pi0 --> dilepton + photon
(Dalitz)
Decay index=4
Branching ratio=0.012000
Decay product 1->Database name=g
Decay product 2->Database name=dilepton
```

Dostęp do danych o cząstkach i rozpadach c.d.

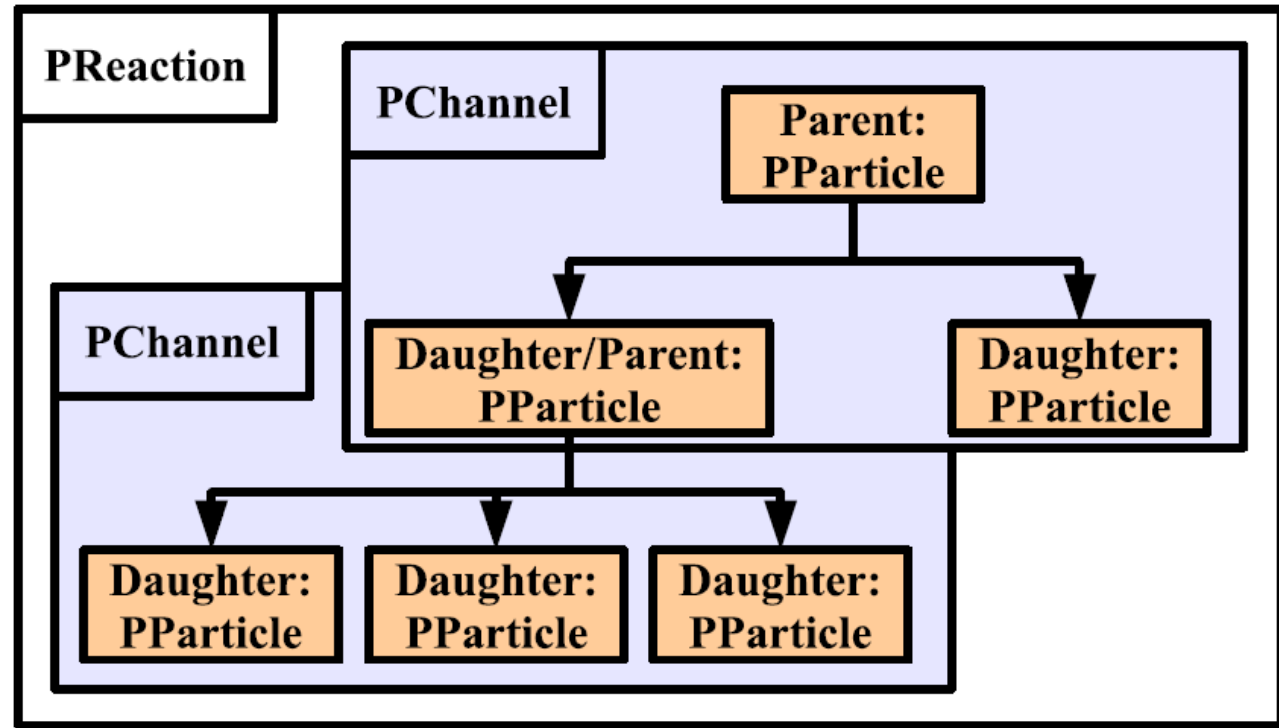
Dostęp do modeli rozpadów, rozkładów:

```
PDistributionManager* pdist = makeDistributionManager ()  
pdist->Print ()  
pdist->Print ("decay_models")  
pdist->Print ("pi0_fixed_g_g")
```

nb. GenBod, cernlib.web.cern.ch/cernlib/mc/genbod.html

Przykład 3 Rozpad $\pi^+ \longrightarrow \mu^+ \nu_\mu$. Tym razem zbudujemy reakcję z klocków.
($E_k = 1 \text{ GeV}$)

Schemat pojęciowy:



Algorytm w naszym przypadku:

1. Tworzymy 3 cząstki: π^+ , μ^+ i ν , reprezentowane przez obiekty klasy `PParticle`.
2. Grupujemy cząstki: tworzymy tablicę, do której wstawiamy adresy obiektów (wpierw substrat)
3. Tworzymy 1 kanał rozpadu $\pi^+ \longrightarrow \mu^+ \nu$, reprezentowany przez obiekt klasy `PChannel`.
4. Łączymy wszystkie kanały w tablicę, do której wstawiamy adresy obiektów `PChannel`
(U nas: tylko 1 kanał \longrightarrow tylko 1 element tablicy)
5. Definiujemy reakcję: tworzymy 1 obiekt klasy `PReaction`, podając tablicę kanałów i plik wyjściowy.
6. Uruchamiamy pętlę.

Zaprogramujmy algorytm w makrze:

```
R__LOAD_LIBRARY ($PLUTOLIBDIR/libPluto.so)

int pip_mupnu_long ()
{
  PParticle pip ("pi+", 1.0 );
  PParticle mup ("mu+" ) , nu ("nu");

  PParticle* parttable[] = { &pip , &mup , &nu };

  PChannel* pip_decay = new PChannel ( parttable , 2 );
                                // "2" = no. of decay particles

  PChannel* tab_of_chan[] = { pip_decay };

  PReaction* my_reaction = new PReaction
    ( tab_of_chan , "pip_mupnu_long",
      1 , /* No of channels in table */
      1 , 0 , 0 , 0 );

  my_reaction->Print ();
  my_reaction->Loop (10000, 1);

  return 0;
}
```

Substrat

Produkty

Tablica cząstek

Kanał rozpadu

Tablica wszystkich
kanałów –
uczestników
reakcji

Definiujemy
reakcję

Pętla
10000 zdarzeń

Przykład 4 Emisja cząstki ze zderzenia 2 cząstek.



Rozpatrzmy reakcję: $p (E_{\text{kin}} = 0.2797 \text{ GeV}) + p \longrightarrow p + p + \pi^0$

- Jakościowo nowa (dwa substraty). Użyjemy dedykowanego konstruktora klasy `PReaction`.
- Skąd ta “dziwna” wartość 0.2797 GeV? To najmniejsza E_{kin} , jaką powinien mieć nukleon wiązki, aby wyprodukować π^0 (z przeżyciem protonów). **“Energia progowa / Threshold energy”**
Dla substratów o masach m_1 i m_2 i produkcie o masie m_x ,
$$E_K^{\text{Min}} = \frac{m_x^2 + 2m_x(m_1 + m_2)}{2m_2}$$

Sprawdź, że gdy $E_k(p^+)$ zmniejszyć o 0.1 MeV, to Pluto odmówi utworzenia π^0 .
- Jednak proces się na tym nie zakończy. π^0 nie jest trwały i po czasie $\tau \approx 10^{-16}$ s rozpadnie się.
Dominujący kanał: $\pi^0 \longrightarrow \gamma \gamma$ (BR $\approx 99\%$)
Uwzględnijmy go w symulacji.

W “” : E_{kin} cząstki wiązki
Bez “” : pęd cząstki wiązki

Substraty (wiązka i tarcza)

Przebieg reakcji (string descriptor)

Plik wyjściowy

Uruchamiamy pętlę

```
R__LOAD_LIBRARY ($PLUTOLIBDIR/libPluto.so)

int pp_pppi0_gg ()
{
    PReaction* my_reaction = new PReaction
        ("0.2797",
         "p", "p",
         "p p pi0 [g g]",
         "pp_pppi0_gg",
         1, 0, 0, 0 );

    my_reaction->Print ();
    my_reaction->Loop (10000, 1);
    return 0;
}
```

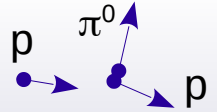
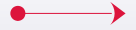
```
$ data->Scan ("Name():pid:GetSiblingIndex()")
```

```
*      0 *      0 *      *      14014 *      -1 *
*      0 *      1 *      p *      14 *      2 *
*      0 *      2 *      p *      14 *      3 *
*      0 *      3 *      pi0 *      7 *      1 *
*      0 *      4 *      g *      1 *      5 *
*      0 *      5 *      g *      1 *      4 *
```

Nieznane PID...?



comp



• Composite particle (cząstka złożona)

Produkty i substraty łączy **Energia dostępna**

Jest niezmiennikiem transformacji Lorentza.

W szczególności w układzie CM z definicji

Jest to więc zasób energii dostępny w układzie CM.

Z tego zasobu generowane są cząstki–produkty, które dodatkowo mogą się poruszać.

$$(\sqrt{s} = \sqrt{(\sum E_i)^2 - (\sum \vec{p}_i)^2})$$

$$\sum \vec{p}_i = \vec{0} \Rightarrow \sqrt{s} = \sum E_i$$

Composite Particle = “cząstka zastępcza”, dla której: $\vec{p}^{CM} = \sum \vec{p}_i^{CM}$ $E^{CM} = \sum E_i^{CM}$ $M = \sqrt{(\sum E_i)^2 - (\sum \vec{p}_i)^2}$

Z niej Pluto tworzy produkty, o ile na rozpad zezwolą zasady zachowania.

$$PID_{CP} = 1000 \times PID_{2(Target)} + PID_{1(Beam)}$$

```
$ data->Scan ("E() : P() : M()", " pid==14014 ")
*      0 *      0 * 2.1562446 * 0.7765961 * 2.0115390 *
*      1 *      0 * 2.1562446 * 0.7765961 * 2.0115390 *
```

Jak widać,
 $E^2 - P^2 = M^2$

```
$ data->Draw ("Beta()", " pid==14014 {lub 7} ")
$ data->Draw ("Rapidity()", " pid==7 {lub 1} ")
$ data->Draw ("Pt() : Rapidity()", " pid==7 {lub 1} ")
```

Rozkład β , y dla pionów koncentruje się wokół β , y cząstki złożonej.

Przykład 5

Emisja ze zderzenia 2 cząstek – konstrukcja “z klocków”



```
R__LOAD_LIBRARY ($PLUTOLIBDIR/libPluto.so)
```

```
int pp_pppi0_gg_long ()  
{
```

```
  PParticle p1 ("p", 0.2797) , p2 ("p");  
  PParticle comp = p1 + p2;  
  PParticle p3 ("p"), p4 ("p"), pi0 ("pi0");  
  
  PParticle* parttab_pi0[] =  
    { &comp , &pi0 , &p3 , &p4 };  
  
  PChannel* pi0_prod = new PChannel (  
    parttab_pi0 ,  
    3 );
```

Kanał $pp \rightarrow pp\pi^0$

```
  PParticle g1 ("g") , g2 ("g");  
  PParticle* parttab_gg[] = {&pi0, &g1 , &g2};  
  PChannel* pi0_ggdecay = new PChannel (  
    parttab_gg, 2 );
```

Kanał $\pi^0 \rightarrow \gamma\gamma$

```
  PChannel* tab_of_chan[] =  
    {pi0_prod , pi0_ggdecay};  
  
  PReaction* my_reaction = new PReaction  
    ( tab_of_chan , "pp_pppi0_gg_long",  
      2 ,  
      1 , 0 , 0 , 0 );
```

Cała reakcja

```
  my_reaction->Print ();  
  my_reaction->Loop (10000, 1);  
  return 0;
```

```
}
```

Substraty
(wiązka + tarcza)

Composite particle

Produkty

Tablica cząstek
uczestników $pp \rightarrow pp\pi^0$

Kanał dla $pp \rightarrow pp\pi^0$

Liczba produktów (3)

Tablica cząstek
uczestników $\pi^0 \rightarrow \gamma\gamma$

Tablica
wszystkich kanałów

Definicja całej reakcji

2 = liczba kanałów

Pętla po zdarzeniach

Analiza wyjściowego TTree w makrze (Przykład 6)

- Przeanalizujemy drzewo wyjściowe z reakcji $\pi^+ \longrightarrow \mu^+ \nu_\mu$.

```
R__LOAD_LIBRARY ($PLUTOLIBDIR/libPluto.so)
```

```
int pip_mupnu_readtree ()  
{
```

```
  TClonesArray* partArray = new TClonesArray ("PParticle", 10);  
  PParticle* Part[10];  
  TVector3 b;
```

```
  TFile* fileIn = new TFile ("pip_mupnu.root");  
  TTree* tree = (TTree*) fileIn->Get ("data");  
  tree->SetBranchAddress ("Particles", &partArray );
```

```
  Int_t nR = tree->GetEntries() ;  
  cout << "\n * Analysing " << nR << " reactions.\n\n";
```

```
  for (Int_t iR = 0 ; iR < nR ; iR++ )  
  {
```

```
    tree->GetEntry (iR);
```

```
    for (Int_t iP = 0; iP < partArray->GetEntries() ; iP++ )  
      Part[iP] = (PParticle*) partArray->At (iP);
```

```
    Part[1]-> Boost ( -Part[0]->BoostVector() );  
    Part[2]-> Boost ( -Part[0]->BoostVector() );
```

```
    for (Int_t iP = 1; iP <= 2; iP++)
```

```
      cout << Part[iP]->Name() << '\t' << Part[iP]->Px() << '\t'  
        << Part[iP]->Py() << '\t' << Part[iP]->Pz() << endl;
```

```
    cout << endl;
```

```
  }  
  return 0;
```

```
}
```

← Pętla po reakcjach

← Wczytanie i-tej reakcji

← Pętla po cząstkach

← 4Pędy produktów transformujemy do układu własnego rodzica

← Wypis danych

Produkcja cząstek ze strefy zderzenia ciężkich jonów

Zagadnienie: produkcja nowych cząstek w zderzeniach ciężkich jonów przy E_{kin} od 100 MeV/nukleon do LHC.

- Krotnością produkcji wielu cząstek w zderzeniu wydaje się rządzić jedna wielkość: \sqrt{s} .
- Jest to zgodne z podejściem statystycznym do strefy zderzenia ("Fireball" / "kula ognista"), złożonej z cząstek (fermionów i bozonów) o danych energiach- \vec{p} ach. Zakłada się równowagę termodynamiczną całości.
- Wyprowadzony rozkład emisji cząstek (F-D lub B-E) zwykle upraszcza się do **rozkładu Boltzmann**.

$$\frac{dN}{dE} \propto p E e^{-E/T}$$

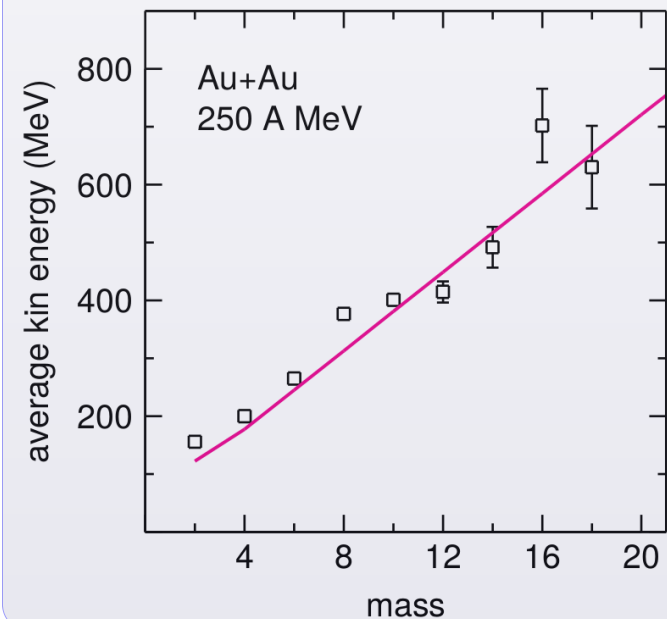
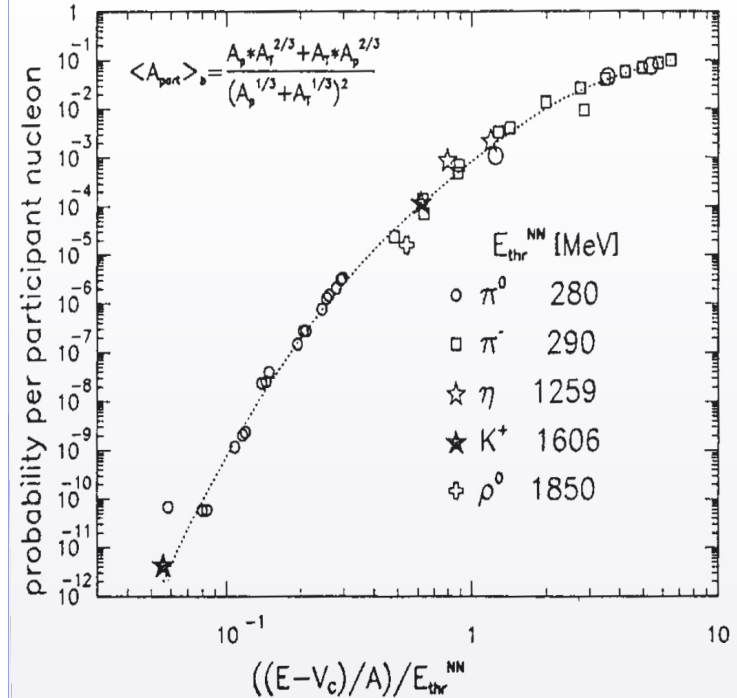
Rozkład Boltzmann:

- (1) jest izotropowy (ekwipartycja energii)
- (2) zachodzi $\langle E \rangle = \frac{3}{2} kT$ (nie zależy od m cząstki).

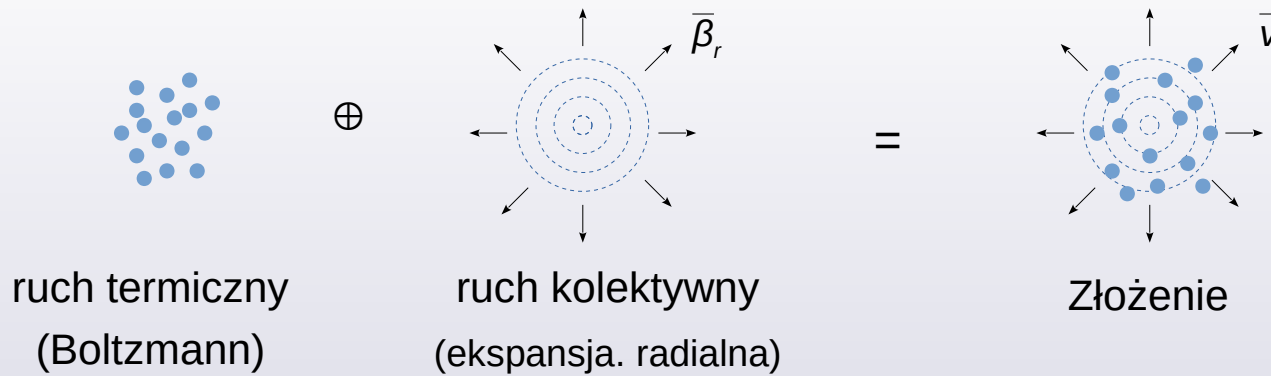
- Bardzo często te cechy nie są spełnione.

Rozkłady pędowe niektórych cząstek wyraźnie dają się opisać dopiero po przyjęciu sumy 2 rozkładów (2 źródła term.)

Zależność $\langle E \rangle = f(m) \rightarrow$ daje asumpt do hipotezy: oprócz ruchu termicznego jest też wspólna ekspansja radialna (ruch kolektywny).



Model Siemensa-Rasmussena: opisuje złożenie ruchu termicznego (T) z ekspansją radialną o prędkości β .



$$\left. \frac{d^3 n}{dp^3} \right|_{CM} = \frac{N_i}{Z(T)} \cdot e^{-\frac{\gamma_r E}{T}} \cdot \left[\left(\gamma_r + \frac{T}{E} \right) \frac{sh \alpha}{\alpha} - \frac{T}{E} ch \alpha \right] \quad \text{gdzie: } \alpha = \gamma_r \beta_r p/T$$

N_i, Z : stałe normalizacyjne

Rozkłady kątowe (w ϑ i φ) często nie są izotropowe.

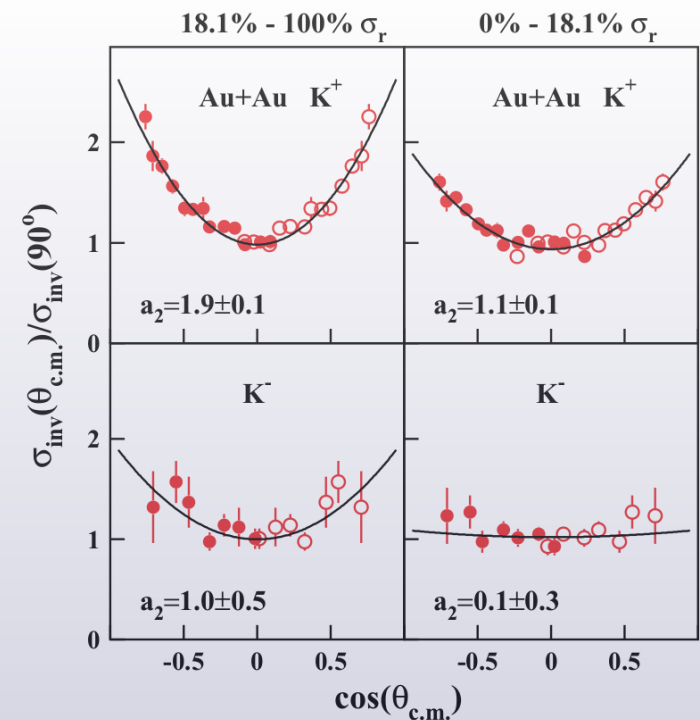
Rozkład w kącie ϑ jest fenomenologicznie parametryzowany rozkładem Legendre'a z kolejnymi (parzystymi) współczynnikami.

$$\frac{dN}{d \cos \theta_{NN}} \sim 1 + \sum_n a_n P_n(\cos \theta_{NN})$$

Rozkład w kącie φ jest fenomenologicznie parametryzowany rozkładem Fouriera z kolejnymi współczynnikami:

$$\frac{dN}{d\varphi} \sim \frac{1}{2\pi} \left(1 + 2 \sum_{n \geq 1} v_n \cos n\varphi \right)$$

W Pluto można zadać dominujące w/w przyczynki.



Produkcja cząstek ze strefy zderzenia ciężkich jonów

Wzorzec części energetycznej rozkładu: suma 2 funkcji Siemens-Rasmussena.

$$\frac{dN}{dE} \propto p E \left\{ f e^{-\gamma_r \frac{E}{T_1}} \left[\left(\gamma_r + \frac{T_1}{E} \right) \frac{\sinh \alpha_1}{\alpha_1} - \frac{T_1}{E} \cosh \alpha_1 \right] + (1 - f) e^{-\gamma_r \frac{E}{T_2}} \left[\left(\gamma_r + \frac{T_2}{E} \right) \frac{\sinh \alpha_2}{\alpha_2} - \frac{T_2}{E} \cosh \alpha_2 \right] \right\}$$

Uwaga: (1) przy $\beta \rightarrow 0$ funkcja Siemensa-Rasmussena \rightarrow funkcja Boltzmannna.
(2) Dla $f = 1$ występuje tylko pierwsze źródło.

Wzorce rozkładu w θ i φ : $\frac{dN}{d\cos\theta_{CM}} \sim 1 + a_2 \cos^2\theta_{CM} + a_4 \cos^4\theta_{CM}$ $\frac{dN}{d\varphi_{RP}} \sim 1 + v_1 \cos\varphi_{RP} + v_2 \cos^2\varphi_{RP}$

PFireball – źródło emisji “naszych” cząstek.

Programistycznie, obiekt PFireball “udaje cząstkę”, z której wypada “nasza” cząstka
 \Rightarrow trzeba zaimplementować kanał PChannel, który złączy obiekt PFireball i cząstkę wyemitowaną.

```
PFireball* source_pi0 = new PFireball (  
    "pi0", /* typ cząstki emitowanej ze źródła */  
    0.040, /* Ekin wiązki / nukleon [GeV/A] */  
    0.015, /* Temperatura źródła termicznego cząstki [GeV] */  
    0., /* Temperatura 2. źródła termicznego, jeśli istnieje [GeV] */  
    1., /* Waga 1. źródła */  
    0., /* Param. Beta (v/c) ekspansji radialnej źródła, jeśli istnieje */  
    0., /* Współczynnik a2 rozkładu kąta theta */  
    0., /* Współczynnik a4 rozkładu kąta theta */  
    0., /* Współczynnik v1 rozkładu kąta phi */  
    0. /* Współczynnik v2 rozkładu kąta phi */  
);
```

Przykład 7

Emisja mezonów π^0 ze strefy zderzenia o temperaturze 15 MeV
Jon wiązki poruszał się z energią 40 MeV na nukleon.

```
R__LOAD_LIBRARY ($PLUTOLIBDIR/libPluto.so)
```

```
int thermal_pi0_gg ()
```

```
{  
    PFireball* source_pi0 = new PFireball (  
        "pi0", 0.040, 0.015,  
        0., 1., 0.,  
        0., 0.,  
        0., 0.  
    );
```

Definicja Fireballu

- Typ cząstki, E_{kin} wiązki [GeV], T źródła [GeV]
 T 2. źródła [GeV], wkład 1. źródła, β radialna
Współczynniki a_2 i a_4 rozkładu kąta θ
Współczynniki v_1 i v_2 rozkładu kąta φ

```
source_pi0 ->Print ();
```

```
PParticle* pi0 = new PParticle ("pi0");
```

Złożenie Fireballu i π^0 w kanał

```
PParticle* parttable_fireball_pi0[] = {source_pi0, pi0};
```

```
PChannel* chan_fireball_pi0 = new PChannel (parttable_fireball_pi0, 1, 1);
```

```
PParticle* g1 = new PParticle ("g");
```

Złożenie π^0 oraz $\gamma\gamma$ w kanał

```
PParticle* g2 = new PParticle ("g");
```

```
PParticle* parttable_pi0_gg [] = {pi0, g1, g2};
```

```
PChannel* chan_pi0_gg = new PChannel (parttable_pi0_gg, 2, 1);
```

```
PChannel* tab_of_chan[] = { chan_fireball_pi0 , chan_pi0_gg };
```

Tablica kanałów

```
PReaction* reaction_thermal_pi0 = new PReaction (  
    tab_of_chan, "thermal_pi0_gg_Eb40MeV_T15MeV",
```

Definicja reakcji

```
    2,
```

```
    1,
```

```
    1, 0, 0, 0
```

- Liczba kanałów w tablicy

```
);
```

```
reaction_thermal_pi0 ->Print ();
```

```
reaction_thermal_pi0 ->loop (10000, 1);
```

```
return 0;
```

```
}
```

Podgląd danych w bazie TNtuple i histogramach THnF

Pluto umożliwia zdefiniowanie zmiennych fizycznych dot. uczestniczących cząstek, a następnie ich **podgląd w bazie TNtuple**. Uwaga: 1 reakcja = 1 wpis do bazy.

- ① Tworzymy bazę TNtuple i dedykowany (osobny) plik wyjściowy:

```
TFile* file_TNtuple = new TFile ("ntufile.root", "RECREATE");
TNtuple* my_ntuple = new TNtuple ("ntu", "Name", "var1:var2:var3:..." );
```

- ② Definiujemy zmienne fizyczne:

```
my_reaction->Do ("thgam = [g]->Theta() * TMath::RadToDeg()" );
my_reaction->Do ("phgam = [g]->Phi() * TMath::RadToDeg()" );
```

- ③ Polecamy reakcji generowanie wyjściowej bazy TNtuple. Można tu zadać **filtr** :

```
my_reaction->Output (my_ntuple , "if (thgam>20 && thgam < 50) " );
```

- ④ Można też nakładać **filtry** na główne drzewo (TTree data). Każda zmienna o nazwie poprzedzonej przez # jest filtrem. Wpis do TTree data nastąpi wtedy, gdy żaden z filtrów nie wyniesie 0.

```
my_reaction->Do ("#myaccept= 1; if (thgam<20 || thgam > 50) ; #myaccept= 0");
```

Podgląd przez kontrolne histogramy 1/2/3-wymiarowe (THnF)

- ① Tworzymy histogram:

```
TH1F* my_histo = new TH1F ("myhisto", "Photon azim. angle", 90, -180., 180.);
```

- ② Definiujemy w reakcji specjalne zmienne **_x (_y, _z)**. Możemy tu zadać **filtr** (uwaga: osobny od TNtuple):

```
my_reaction->Do (my_histo, "if thgam>20 && thgam < 50; _x=phi");
```

Uwaga: Zapis TNtuple i THnF do pliku, trzeba zwykle jawnie polecić :

```
gDirectory->cd ("ntufile.root:");
my_ntuple ->Write ();
my_histo ->Write();
```

Przykład 8 Rozpraszanie Comptona – podgląd zmiennych w TNtuple i THnF

```
R__LOAD_LIBRARY ($PLUTOLIBDIR/libPluto.so)
```

```
int compton ()
```

```
{  
    PReaction* R = new PReaction ("0.010",  
                                  "g", "e-", "g e-", "compton_ttree");  
    R->Print ();
```

```
    TFile* file_TNtuple = new TFile ("compton_ttuple.root", "RECREATE");
```

```
    TNtuple* my_ntuple = new TNtuple ("ntu", "Monitor ntuple",  
                                     "thgam:phgam:thel:phel:opang" );
```

```
    R->Do ("RTD = TMath::RadToDeg()");
```

```
    R->Do ("thgam = [g]->Theta() * RTD");
```

```
    R->Do ("phgam = [g]->Phi() * RTD");
```

```
    R->Do ("thel = [e-]->Theta() * RTD");
```

```
    R->Do ("phel = [e-]->Phi() * RTD");
```

```
    R->Do ("opang = [g]->Angle([e-])* RTD");
```

```
    R->Output (my_ntuple, "if (thgam>20 && thgam < 50)");
```

← Definicje zmiennych

↓ Filtr w TNtuple

```
    R->Do ("#myAccept=1; if (thgam<20 || thgam > 50); #myAccept=0");
```

← Filtr
TTree

```
    TH1F* my_histo = new TH1F ("myhisto", "Opening angle", 90, 0., 90.);
```

```
    R->Do (my_histo, "if thgam > 20 && thgam < 50 ; _x = opang");
```

TH1F

```
    R->Loop (10000, 1);
```

```
    gDirectory->cd ("ntufile.root:");
```

```
    my_ntuple->Write ();
```

```
    my_histo ->Write ();
```

```
    return 0;
```

```
}
```

Zapis

Język skryptowy

Dedykowany przewodnik:

https://www.fuw.edu.pl/~kpias/nkfj/pluto/ifroehlich_pluto_script_manual.pdf

Dodawanie nowych cząstek do bazy danych Pluto

Aby dodać nową cząstkę i ew. zapewnić jej oczekiwane rozpady,

- ① Zaczynamy od utworzenia obiektu z bazą danych.

```
$ PStaticData* sd = makeStaticData() ;
```

- ② Podajemy PID, nazwę i masę cząstki. PID = -1 przydzieli pierwszy wolny numer. Ew. dodajemy szer. Γ .

```
$ sd->AddParticle ( -1, "New", mass [GeV]);  
$ sd->SetParticleTotalWidth ( "New", width [GeV]);
```

- ③ Przydzielamy istotne cechy cząstki.

Uwaga: brak ważnych danych może skutkować brakiem modelu rozpadu i błędnymi rozkładami.

```
$ sd->SetParticleBaryon ("New", 1);  
           Meson ( )      Charge ( )      Spin ( )      Isopin ( )      ....
```

- ④ Dla cząstek nietrwałych: wskazujemy kanał(y) rozpadu. PID = -1 przydzieli pierwszy wolny nr. z listy.

```
$ sd->AddDecay (-1, "New -> b + c", "New", "b,c", 1.);
```

Przykład 9 Krecja par e^+e^- w pobliżu jądra atomowego

```
R__LOAD_LIBRARY ($PLUTOLIBDIR/libPluto.so)

int gamma_pairproduction ()
{
    double mN = 0.938, A = 40, mass_nucl = mN * A;
    PStaticData* sd = makeStaticData() ;
    sd->AddParticle (-1, "A", mass_nucl );

    PReaction* R = new PReaction ( "1.", "g", "A", "A e+ e-", "gamma_ee_ttree");
    R->Print ();

    TFile* file_TNtuple = new TFile ("gamma_pairprod_tntuple.root", "RECREATE");
    TNtuple* my_ntuple = new TNtuple
        ("ntu", "My Ntuple", "pxep:pyep:pzep:pxem:pyem:pzem:pxA:pyA:pzA" );

    R->Do ("RTD = TMath::RadToDeg()");
    R->Do ("pxep = [e+] -> Px() * RTD");
    R->Do ("pyep = [e+] -> Py() * RTD");
    R->Do ("pzep = [e+] -> Pz() * RTD");
    R->Do ("pxem = [e-] -> Px() * RTD");
    R->Do ("pyem = [e-] -> Py() * RTD");
    R->Do ("pzem = [e-] -> Pz() * RTD");
    R->Do ("pxA = [A] -> Px() * RTD");
    R->Do ("pyA = [A] -> Py() * RTD");
    R->Do ("pzA = [A] -> Pz() * RTD");

    R->Output (my_ntuple);
    R->Loop (10000, 1);

    file_TNtuple->Write ();
    file_TNtuple->Close ();
    return 0;
}
```

